

شناسایی الستومرهای پویشی دیفرانسیلی

Identification of Elastomers by Differential Scanning Calorimetry

واژه‌های کلیدی:

الاستومر، آنالیز حرارتی، تغیریب، گرمائیر، گرماده

غلامرضا پخشنه، محمد خراسانی
مرکز تحقیقات و توسعه علوم و تکنولوژی مواد پلیمری

- ۳ - کاهش هزینه تعزیز
- ۴ - به دست آوردن نتایج کمی بهتر
- ۵ - استفاده از تکنیکهای نموداری

جدول ۱ - روش‌های معمول شناسایی لاستیکها و مواد نیمهای مربوط.

نوع شناسایی	روش‌های شناسایی	اجزاء
کیفی - کمی	IR, NMR, Py-MS, DSC, DTG	پلیمر
کیفی - کمی	IR, XRF, DTG	برگشته (فرود و مواد معدنی)
کیفی - کمی	IR, MS, NMR, TLC, LC, GPC	روشنهای فراوردن
کیفی - کمی	IR, MS, NMR, TLC, LC, GPC	نم کشند
کیفی	IR, MS, NMR, TLC, LC, GPC, TLE, LC, GPC, DSC	تقویت کشند
کیفی	IR, MS, NMR	مواد بخت
کیفی	IR, MS, NMR, TLC, LC, GPC	ناکی فابر

روش‌هایی که در این زمینه به کار برده می‌شوند عبارت اند از:

- ۱ - طیف نورسنج انعکاسی زیر قرمز
- ۲ - NMR حالت جامد
- ۳ - طیف بینی پرولیز جرمی (Py-MS)
- ۴ - میکروسکوپی پوشی الکترون (SEM)
- ۵ - گرماسنجی پوشی دیفرانسیلی
- ۶ - تعزیز گرمایزنی دیفرانسیلی (DTG)

در روش زیر قرمز تکنیکهای بازتابش - نسفودی - (diffuse reflectance) و طیف بینی نور صوتی بازتابش تضعیف شده کل (photo acoustic spectroscopy, attenuated total reflectance IR)

چکیده

از آنجا که با استفاده از روشهای تعزیز مستقیم می‌توان علاوه بر صرفه جویی در زمان و کاهش کارهای آزمایشگاهی و هزینه، نتایج کمی بهتری با استفاده از تکنیکهای نموداری به دست آورد و روشن گرماسنجی پوشی دیفرانسیلی (DSC) برای تعزیز از آنها استفاده شد. مواد مرده استفاده الاستومرهای EPDM, CR, NBR, NR, SBR1712, SBR10-2, BR, گرمائیرهای EPDM, CR, NBR, گرمادههای SBR, NR, گرمایش قرار گرفت. لاستیکهای ولکانید و خام در انتقال نهضو زدن و اکسیژن مواد آزمایش قرار گرفتند. از نمودارهای گرمایی حاصل بین عمالی اثاق تا ۲۰۰°C برای شناسایی استفاده شد. همچنین نمودارهای DSC لاستیکهای SBR با فرمولتاپهای متعدد و نمونهای ناشناخته به دست آمدند.

علوم شد که ماهیت گرمائیر یا گرماده و شکل نمودارهای گرمایی و دمای واکنشها به ساختار، شکل نشانی و ترکیب نیمهای لاستیک بستگی دارد.

مقدمه

با این تعریف کلی تعزیز به شناسایی کیفی و کمی اجزای تشکیل دهنده یک نمونه گفته می‌شود که به روشهای گوناگون ناشناخته شده اعم از دستگاهی و غیر دستگاهی انجام می‌گیرد.

آنچه در این مقاله مورد تأکید قرار می‌گیرد، تنها تعزیزهای شاخه‌ای از محصولات پلیمری به نام لاستیکهای است که به شکل یک طرح پژوهشی با استفاده از روش گرماسنجی پوشی دیفرانسیلی انجام شده است. هدف از انجام این طرح شناسایی نمونهای ناشناخته برای مشابههای سازی یا بهینه سازی خواص آنهاست. جدول ۱ روشهای معمول شناسایی مواد تشکیل دهنده لاستیکها را نشان می‌دهد [2].

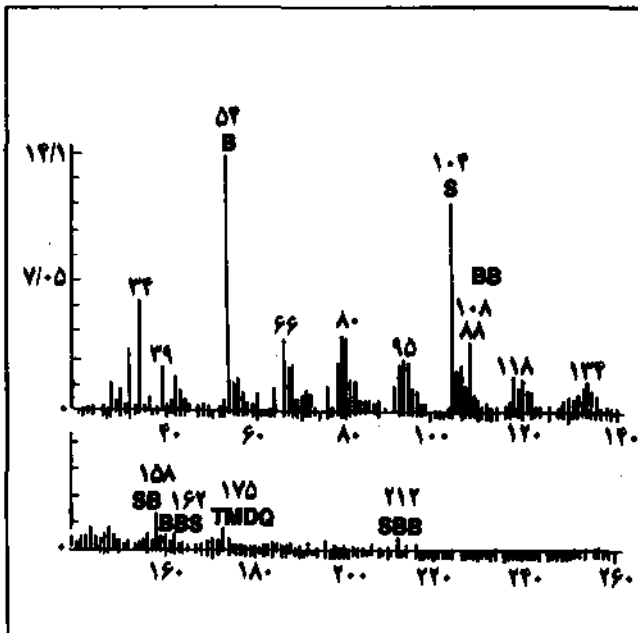
تعزیزهای لاستیکها

- ۱ - تعزیزهای لاستیکها در حداقل زمان ممکن
- ۲ - کاهش کارهای آزمایشگاهی

Key Words: elastomers, thermal analysis, degradation, endothermic, exothermic

است که می‌توان این خاصیت را به علامت الکتروکی تبدیل و سپس اندازه‌گیری کرد. خواص اصلی نمونه و تکنیکهای مورد استفاده در جدول ۲ خلاصه شده است.

برای تعزیزه لاستیکها به کار می‌روند. مزیت مهم IR، تشخیص و شناسایی مواد آلی و معدنی موجود در لاستیکهاست. با وجود این، همچنان طبقه، حساسیت کم از محدودیتهای مهم روش IR در تعزیزه لاستیکهاست. روش NMR شامل تکنیکهای زیر است:



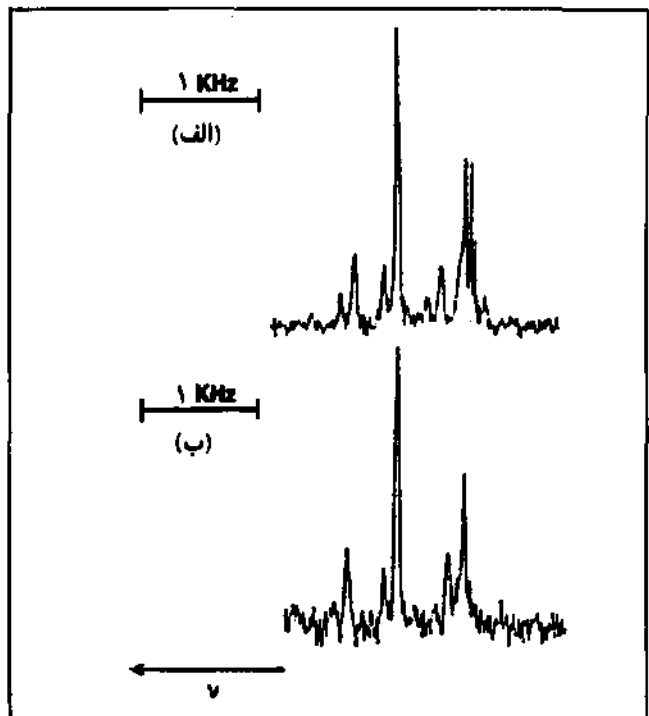
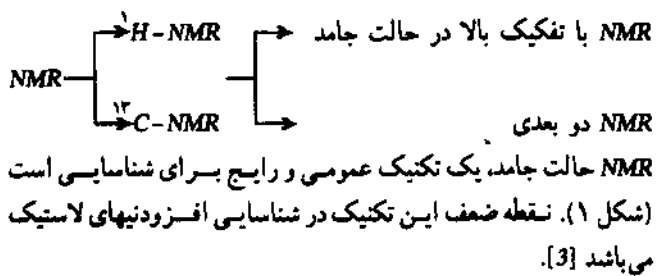
شکل ۲ - طیف پیرولیز - جرم آمیزه لاستیک [1] SBR.

وقتی به یک جسم جامد خالص (A) در شرایط گاز خنثی (N_2) گرم مداده می‌شود، در اثر جنبشهای مولکولی، یونی یا اتمی، تغییراتی در ساختار بلوری آن به وجود می‌آید و بدین ترتیب ماده ذوب و سپس تغییر می‌شود [8,9]. اگر نیروهای درون مولکولی از نیروهای بین مولکولی ضعیفتر باشد، امکان تغذیه ماده و تبدیل آن به مولکولهای جدید وجود دارد. رخدادهای اصلی گرمایی شامل DSC و DTA می‌باشد. در DTA، اختلاف دما (ΔT) بین نمونه و ماده شاهد ثبت می‌شود [10,11].

جدول ۲ - خواص نمونه‌ها و تکنیکهای مورد استفاده.

علامت اختصاری	تکنیک	خاصیت
TG	گرمایزن سنجی	جرم
DTG	گرمایزن سنجی دیفرانسیلی	جرم
DTA	تعزیزه گرمایی دیفرانسیلی	دما
DSC	گرمائی سنجی دیفرانسیلی	انتالپی
TMA	تعزیزه مکانیکی گرمایی	مکانیکی
DMA	تعزیزه مکانیکی دینامیک	مکانیکی
TM	گرمائی سنجی	متناهیتیس

در تکنیک DSC [13,14]، رخدادهای گرمایی که به صورت انحراف از خط مبدأ ظاهر می‌شوند، در مسیر گرمایی و گرماده، هر دو



شکل ۱ - طیف $^{13}\text{C-NMR}$ کربن پلیمر دستهای جامد SBR در 200 K (الف) و در 300 K (ب) [3].

روش پیرولیز-گاز کروماتوگرافی - این روش که همراه با تعیین کمی به وسیله طیف بینی جرمی انجام می‌گیرد، بهترین روش برای شناسایی مواد پیرولیز شده با جرم مولکولی پایین است. با استفاده از تکنیکهای شناسایی نموداری، طیفهای جرمی خیلی بیجده از آمیزه‌های مختلف را می‌توان شناسایی کرد (شکل ۲). نقطه ضعف روش‌های پیرولیز در تکرار ناپذیری و ناتوانی در تعزیزه کمی می‌باشد [4,6].

روش گرمائی سنجی دیفرانسیلی - اکثر دستگاههای تعزیزه گرمایی، طرح کلی یکسانی دارند. تنوع تکنیکها ناشی از تنوع خواص فیزیکی ماده

و زنجیر پلیمر شکسته شده از محیط عمل خارج می‌شود. واکنشهای شبیهای ناشی از ساختارهای خاص لاستیکها نیز قابل بررسی می‌باشند. از جمله این واکنشها می‌توان از حلقه‌ای شدن گروههای وینیلی، حلقه‌ای شدن اکریلوئیتریل در NBR یا به دست آمدن سولفونیل کلرید از پلی اتیلن کلرو سولفونات نام برد.

بستگی به افزایش یا کاهش انرژی برای ثابت نگه داشتن دمای نسونه نسبت به شاهد دارد. گستره دمای مورد عمل در دستگاه DSC نسبت به DTA محدودتر است.

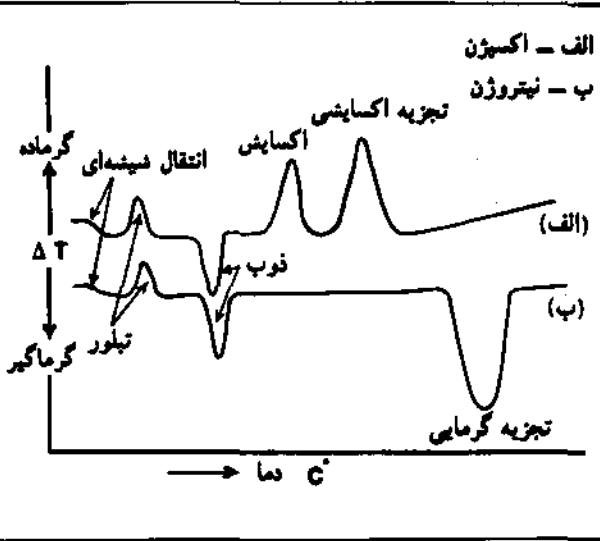
عمولاً ثبت خط مبدأ نیست. تغییرات ناگهانی شبیه با انتقال شبیهای در پلیمرها و انتقال نقطه کوری (Curie) در مواد فرو-متناطیس روی می‌دهد. تغییرات آنتالپی برای این انتقالها صفر است. اما تغییرات طرفیت گرمایی وجود دارد [12, 15, 16]. تابع حاصل از DSC و DTA به طور کمی شبیه هم می‌باشد، ولی اطلاعات کمی حاصل از DSC معتبرتر می‌باشد. اغلب پلیمرهای جامد با سرد شدن سریع در دمای بایین از فاز لاستیک (Tg) یک انتقال نوع دوم است و روی منحنی DSC به صورت یک انحراف از خط مبدأ در دمای انتقال شبیهای ظاهر می‌شود [17, 18].

مزایای DSC نسبت به سایر روش‌های دستگاهی عبارت اند از:
۱ - هیچ روش خاصی برای نمونه‌سازی لاستیکهای خام یا پخت شده ضروری نیست.

۲ - واکنش تشکیل یا شکست پیوند از ماهیت نمودارهای گرمایی مشخص می‌شود.
۳ - ترکیبات کم مقدار و اجزای پخت شده، به تدریج بیکهای مجزا نشان می‌دهند و شناسایی پلیمر را آسان می‌کنند [19, 20].

DSC ماهیت داده‌های
رخدادهایی که در دمای پایین مشاهده می‌شوند (پایینتر از دمای محیط)، انتقال شبیهای و ذوب بلوری آمیزه، لاستیک (گاهی نرم کننده‌ها) می‌باشند.

ذوب بلوری پلاستیکها یا لاستیکهای گرماینده در دمای بالاتر صورت می‌گیرد. ممکن است منعنیهای گرمایگر کوچک از ذوب انواع مختلف مواد افزودنی (گوگرد، شتاب دهنده و غیره) در نمودار گرمایی ظاهر گردند. اگر رطوبت قابل توجهی در آمیزه وجود داشته باشد، منحنی گرمایگر تغییر آن در 100°C مشاهده می‌شود. منحنی گرمایگر تغییر روغنها و نرم کننده‌ها پایینتر از دمای پخت مشاهده می‌شود. شکل ۲ نمودار گرمایی حاصل را در انتمسفر اکسیزن (الف) و نیتروژن (ب) ارائه می‌دهد. در این شکل مشخصات گرمایی متعدد موجود در منحنی DSC مقایسه شده است. با وجود این، در عمل همه این روش‌دادهای گرمایی در پلیمرها به این صورت نیست. پخت لاستیک در دمای 150°C تا 220°C مشاهده می‌شود. واکنشهای عمدی برای پخت گوگردی و پروکسیدی، گرماده می‌باشند. صرف نظر از اهمیت آن‌ها و واکنش گرماده، موقعیت پیک روی محور دمای نیز اهمیت دارد، زیرا با استفاده از این موقعیت می‌توان نوع شتاب دهنده را تعیین کرد. در دمای بالاتر از 300°C واکنشهای گرمایی لاستیکها مشاهده می‌شود. ماهیت این واکنشها با نوع و ساختار لاستیک ارتباط دارد. در دمای بالاتر، لاستیکها تخریب می‌شوند.



شکل ۲ - منحنی اجمالی DSC [20].

در انتمسفر اکسیزن، فرایند تخریب اکسایشی رخ می‌دهد که دمایی آن معمولاً پایینتر از تخریب گرمایی است. این واکنشها در کل گرماده می‌باشند. آنتالپی تخریب اکسایشی همانند تخریب گرمایی، پیکهای اثر انگشت را به وجود می‌آورد که در شناسایی لاستیکها مفید است. در دمایی بالاتر از دمای پخت (20°C تا 150°C)، ممکن است فرایندهای گرماده و گرمایگر در لاستیک پخت شده مشاهده گردد. لاستیکهای مختلف به علت داشتن ساختارهای شبیهای خاص زنجیر پلیمری، در این گستره دمایی واکنش خاصی نشان می‌دهند. برای مثال حلقه‌ای شدن لاستیکهای BR و SBR و NBR به طور کیفی در DSC ثبت می‌شود. از آنالیپی این فرایندها برای اهداف تجزیه استفاده می‌شود. در دمایی بالاتر، تخریب پلیمر شروع می‌گردد. نمودارهای پیچیده حاصل از تخریب گرمایی در گاز خنثی بستگی به نوع لاستیک مورد آزمایش دارد. تخریب اکسایشی نیز نمودار پیچیده‌تری ارائه می‌دهد که به صورت اثر انگشت در شناسایی مورد استفاده قرار می‌گیرد [20, 21, 22].

شرایط آزمایش

در این طرح از دستگاه DSC نوع Stanton STA 625 استفاده شد. مقدار ۹ تا ۱۲ میلی گرم نمونه لاستیک خام یا پخت شده در هر آزمایش مصرف

گردید. گاز نیتروژن به عنوان یک گاز خنثی، اتمسفر محيط آزمایش را تشكیل می‌داد. نمودارهای گرمایی در گستره دمایی ۲۵–۶۰۰°C تا ۱۰۰°C شدند. سرعت ورود گاز خنثی دقیقه/۲۵°C و سرعت گرمادهی دقیقه/۱۰°C بود و در طول آزمایش ثابت نگه داشته شد.

نتایج و بحث

نمای انقال شیشه‌ای، دمای تبلور و دمای ذوب اغلب الاستومرهای خلی باین (پایینتر از ۰°C) است. در گستره دمایی انتخاب شده در این آزمایش (۰–۵۰°C)، نمودار گرمایی این انتقالها ظاهر نشد. در ضمن به علت اینکه انتقالهای فیزیکی نسبت به عوامل متعدد شکل شناختی حساس‌اند، در نتیجه پیشتر روح انتقالهای شیمیایی در دماهای بالا تأکید می‌شود. تخریب گرمایی پلیمرها (در گاز N₂، شامل گسترن پیوندهای شیمیایی است. این واکنش در غیاب واکنشهای اکسایش به انرژی زیادی نیاز دارد. بنابراین، فرایندهای پیرولیز گرماده‌اند. با وجود این، فرایندهای گرماده در طول تخریب گرمایی در بعضی پلیمرها یافت می‌شوند که دلالت بر تشکیل پیوند دارند. شبکه‌ای شدن و حلقه‌ای شدن، نمونهایی در این زمینه‌اند.

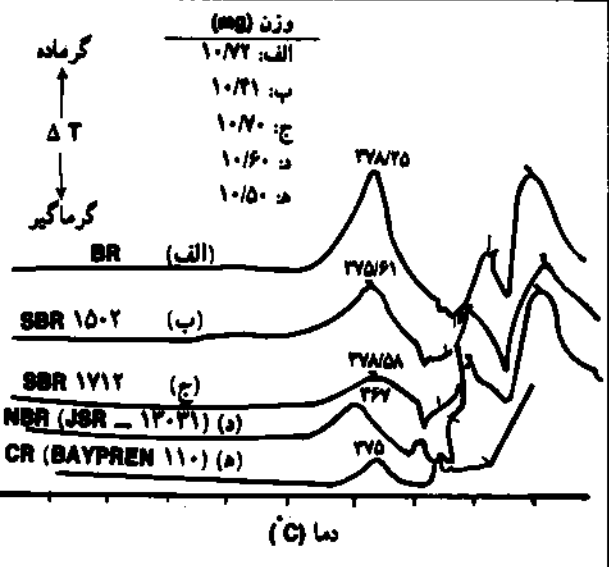
نمای آغاز تخریب، دمای پیکها و شکل پیک عوامل اصلی شناسایی می‌باشند. پایدار گرمایی نسیب پلیمرهای مختلف را می‌توان از موقعیت پیکها بدست آورد. نمودارهای گرمایی حاصل از تسجیله در اتمسفر اکسیژن، همواره گرماده‌اند. همچنین به علت غیرقابل کنترل بودن واکنشهای اکسایش، نتایج تکراری‌ذیر خوب، مانند تخریب در اتمسفر نیتروژن، حاصل نمی‌شود. بسته به مساحت نمودارهای گرمایی الاستومرهای خام در اتمسفر نیتروژن، می‌توان آنها را به سه طبقه اصلی تقسیم نمودی کرد:

- ۱ - الاستومرهای که با واکنشهای گرماده تخریب می‌شوند.
- ۲ - الاستومرهای که با واکنشهای گرماده تخریب می‌شوند.
- ۳ - الاستومرهای که هم با واکنشهای گرماده و هم گرماده تخریب می‌شوند.

در بخشی‌ای بعد این سه طبقه به ترتیب مورد بحث قرار می‌گیرند.

استومرهای دارای واکنشهای گرماده الاستومرهای خام - پلی بوتاڈی آن، استیرن - بوتاڈی آن، اکریلونیتریل بوتاڈی آن و پلی کلروبرن در این گروه قرار دارند. مشخصات نمودارها در شکل ۴ نشان داده شده است. دمای پیک گرماده الاستومر بوتاڈی آن ۱۷۱۲°C/۲۵°C، استیرن - بوتاڈی آن ۱۵۰۲°C/۳۷۵/۶۱°C (SBR - ۳۷۸/۲۵°C)، اکریلونیتریل بوتاڈی آن (NBR) دمای ۳۶۷°C و پلی کلروبرن ۳۷۸/۵۸°C (SBR - ۳۷۵°C) (CR - ۳۷۵°C) است.

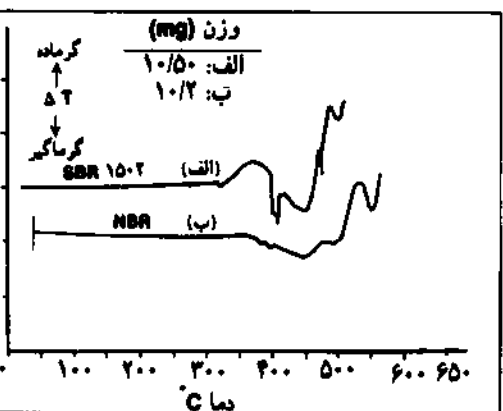
مشخصه عمومی این الاستومرهای خام، وجود واحد بوتاڈی آن در آنهاست، به استثنای پلی کلروبرن که کلر جایگزین هیدروژن در ساختار



شکل ۴ - نمودار گرمایی الاستومرهای BR، SBR، NBR، SBR و CR در اتمسفر نیتروژن.

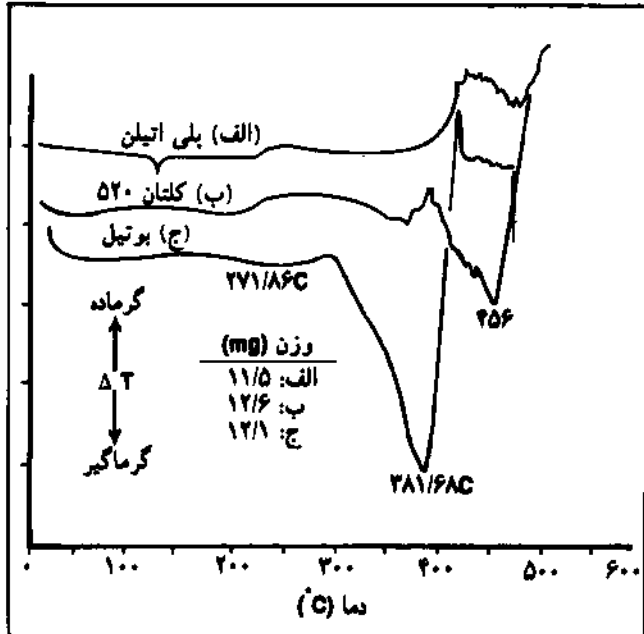
بوتاڈی آن شده است. سطح زیر منحنی گرماده به طور کمی به مقدار بوتا دی آن در BR، SBR و NBR بستگی دارد. در مورد CR، سطح زیر منحنی به وزن نمونه بستگی دارد. NBR به وسیله نمودارهای گرمایی همراه با تسجیله عنصری برای نیتروژن شناسایی می‌شود. تشخیص بین الاستومر SBR و BR با این روش مشکل است و تنها به وسیله سطح زیر منحنی گرماده کوچک، SBR، این امر ممکن می‌شود. البته می‌توان همراه با نمودار DTG این دو الاستومر را به سهولت از هم تشخیص داد. صرف نظر از سطح زیر پیک، SBR - ۱۵۰۲ و SBR - ۱۷۱۲ هر دو اثر انگشت مشابه دارند.

الاستومرهای ولکانیده - نمودارهای گرمایی الاستومرهای ولکانیده SBR، NBR و BR همان طرح الاستومرهای خام را رانه می‌دهند. سطح زیر منحنی گرماده، به طور کمی به مقدار بوتا دی آن بستگی دارد (شکل ۵).

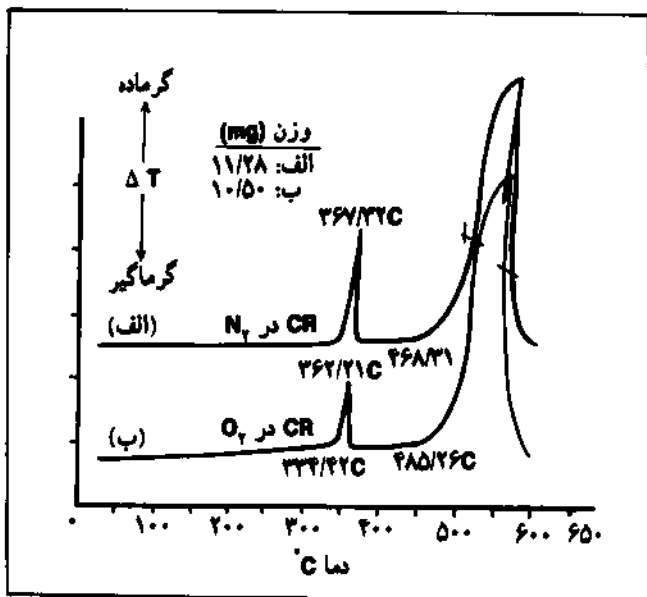


شکل ۵ - نمودارهای گرمایی گرمایی لاستیکهای SBR و NBR و ولکانیده در اتمسفر نیتروژن.

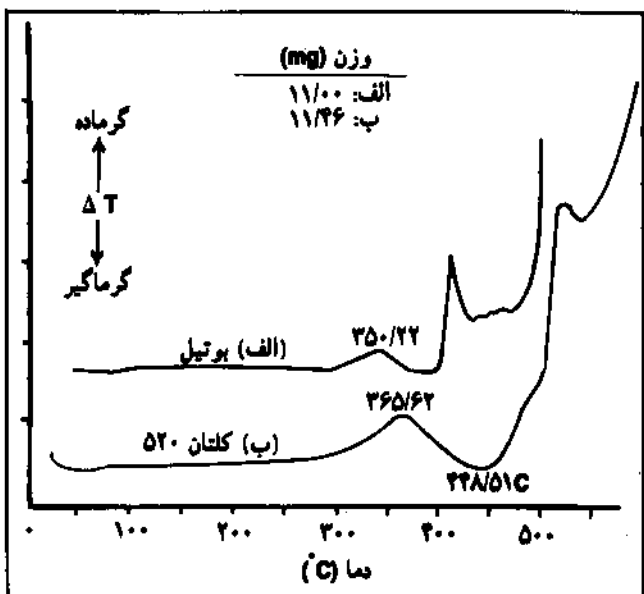
پلی کلروبرن (CR) وولکانیده یک پیک گرماده تیز در اتمسفر نیتروژن در 367°C و یک پیک مشخصه الاستومر یاد شده است و با استفاده از آن به راحتی می‌توان این ترکیب را از بقیه الاستومرهای تشخیص داد (شکل ۶).



شکل ۷-نمودار گرمایی الاستومرهای EPDM و بوتیل خام در اتمسفر نیتروژن.



شکل ۶-نمودار گرمایی الاستومر پلی کلروبرن (CR) در اتمسفر نیتروژن و اکسیژن.



شکل ۸-نمودار گرمایی EPDM و بوتیل وولکانیده در اتمسفر نیتروژن.

اتمسفر نیتروژن و اکسیژن را نشان می‌دهد. نمودار گرمایی این الاستومر، صعود تدریجی یک پیک گرماده را تا دمای 300°C نشان می‌دهد که در امتداد آن یک پیک گرمگیر و یک پیک گرماده و سرانجام یک پیک گرمگیر حاصل از تغییر بین دمای 400°C و 450°C قرار دارد. نمودار گرمایی NR در اتمسفر اکسیژن شامل یک رشته ییکهای گرماده است که در دمای 200°C شروع می‌شود. نمودارهای گرمایی حاصل در اتمسفر

الاستومرهای دارای واکنشی گرمگیر در اتمسفر نیتروژن این گروه شامل پلیمرهای بوتیلی و اولفینی است. شکل ۷ نمودارهای گرمایی EPDM، بوتیل و پلی اتیلن را در اتمسفر نیتروژن نشان می‌دهد. اندازه و شکل ییکهای گرمگیر حاصل از پلیمرهای اولفینی بستگی به روش تخریب دارد، در حالی که موقعیت پیکها به پایداری گرمایی وابسته است. بوتیل به علت پایداری گرمایی کم، در اثر گرمایه سونوم زیاد تولیدی کند و یک گرمگیر آن در دمای پایینتری ظاهر می‌شود.

الاستومرهای وولکانیده - شکل ۸ نمودارهای گرمایی لاستیکهای بوتیل و EPDM وولکانیده را نشان می‌دهد. مقایسه این نتایج با شکل ۷ نشان می‌دهد که پایداری گرمایی لاستیک وولکانیده زیاد می‌شود و تعداد ییوندهای شکسته شده در واحد جرم با شبکه‌ای شدن افزایش می‌یابد. برای تعام پلیمرهای یاد شده یک پیک گرماده کوچک ولی تیز قبل از یک گرمگیر حاصل از تخریب به وجود می‌آید. در صورتی که این پیک در نمودارهای گرمایی الاستومرهای خام وجود ندارد. این پیک ناشی از برهم کنش اجزای ترکیب می‌باشد.

الاستومرهای دارای واکنشی گرماده و گرمگیر الاستومرهای خام - شکل ۹ نمودار گرمایی لاستیک طبیعی (NR) در

در شکل ۱۱ گنجانده شده است. با توجه به نمودارهای گرمایی، دمای پیکهای گرماده به ترتیب در 40°C و 40°A به چشم می‌خوردند. دوده هیچ نقشی در تخریب گرمایی نداشته و با مقایسه این نمودارها با نمودار شکل ۱۰ معلوم می‌شود که مواد پخت‌کننده و برکننده، تغییری در نمودارها وجود نمی‌آورند و همه آنها در گستره دمایی بیاد شده یکسان هستند که این مسئله می‌تواند با دقت زیاد در شناسایی لاستیک طبیعی به کار برده شود.

جدول ۲ – فرمولیندهای لاستیک طبیعی و ولکانیده.

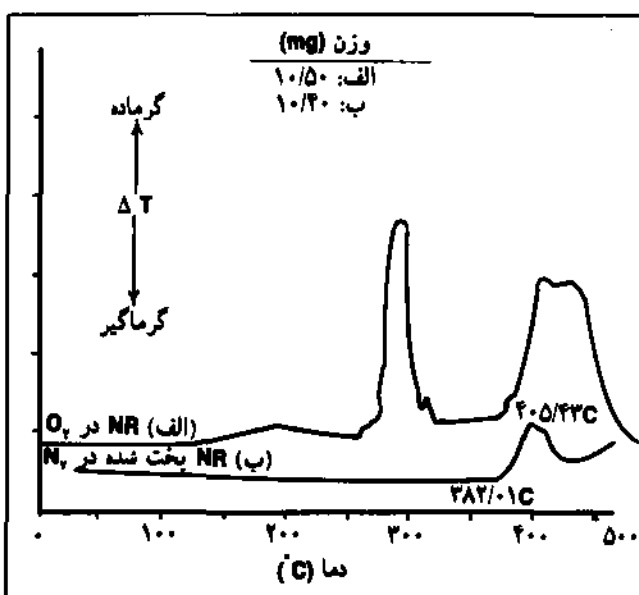
۳	۲	۱	اجزاء
۱۰۰	۱۰۰	۱۰۰	(SMR - ۲۰) NR
-	-	۵۰	دوده N - ۳۷۵
-	۵۰	-	دوده N - ۵۰۰
۵۰	-	-	دوده N - ۶۶۰
۵	۵	۵	روی اکسید
۲	۲	۲	استناریک اسید
۱۰	۱۰	۱۰	روغن آروماتیک
۱	۱	۱	شد اکستنده، سانتوفلکن ۱۳ santoflex ۱۳
۰/۶	۰/۶	۰/۶	- سیکلوهگزیل ۲ - بنزوئیازول
۰/۶	۰/۶	۰/۶	MBTS سولفون آمید
۰/۲۵	۰/۲۵	۰/۲۵	PVI
۲/۵	۲/۵	۲/۵	گوگرد

SBR و ولکانیده – نقش دوده نیز مطابق جدول ۳ در تخریب گرمایی این الاستومر مورد بررسی قرار گرفت. نتایج حاصل در شکل ۱۲ ارائه شده است. با بررسی نمودار مشخص می‌شود که هر سه آمیزه، یک پیک گرماده در دمای 375°C ارائه می‌دهند. با مقایسه نمودار پخت شده با نمودار الاستومر خام، نتایج قبلی تقویت می‌شوند. بنابراین، SBR خام و ولکانیده یک پیک گرماده در دمای معین می‌دهند که به راحتی می‌توان این تکیک را در شناسایی آنها به کار برد.

نمونه‌های مجهول – نمودار گرمایی DSC یک قطعه لاستیکی مصرف شده به دست آمد که در شکل ۱۲ ارائه شده است. با توجه به نمودار، یک پیک گرماده در دمای 20°C مشاهده می‌شود که مشخصه الاستومر NR است. این مشاهده با نتیجه به دست آمده از طیف نورسنج IR تأیید شد.

نمودارهای گرمایی ۵ قطعه لاستیک اورینگ با فرمولیندی نامعلوم، توسط DSC به دست آمد که در شکل ۱۴ ارائه شده است. در این نمودارها یک پیک گرماده در دمای 367°C برای هر کدام مشاهده می‌شود. یکسان بودن پیکها که در گستره دمایی الاستومر NBR قرار دارد، همراه با نتایج تعزیزی عنصری و طیف نورسنجی IR، مورد تأیید قرار گرفت.

اکسیژن نسبت به اتمسفر نیتروژن به علت غیرقابل کنترل بودن واکنشهای تخریب، کمتر تکرار پذیرند. از این رو بسته به اندازه نمونه متنوع هستند.



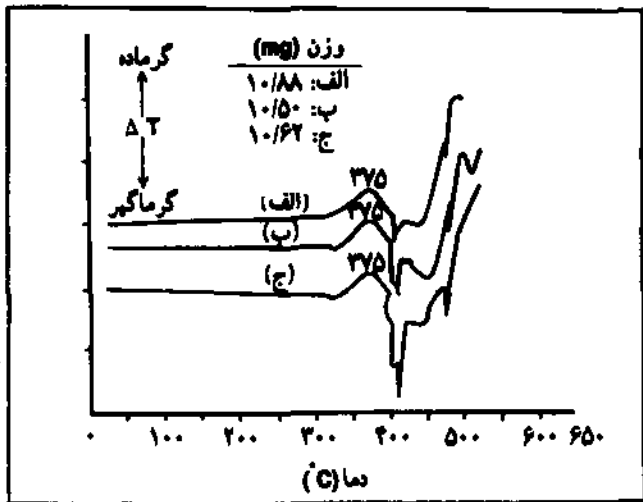
شکل ۹ – (الف) – نمودار گرمایی لاستیک طبیعی (NR) خام (الف)، وولکانیده (ب) در اتمسفر نیتروژن و اکسیژن.

الاستومرهای وولکانیده – نمودار گرمایی NR و ولکانیده مطابق فرمولیندی جدول ۱ در شکل ۱۰ نشان داده شده است. نمودار گرمایی الاستومر خام بعد از وولکانیش به طور قابل توجهی تغییر می‌کند. در این نمودار تنها یک پیک گرماده نامتناهن در حدود دمای 40°C مشاهده می‌شود که خاص الاستومر NR می‌باشد.

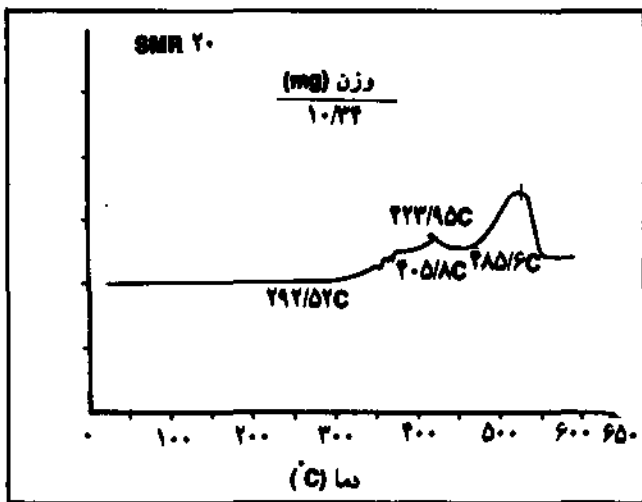
جدول ۱ – فرمولیندی لاستیک طبیعی.

درصد	اجزاء
۱۰۰	NR
۷۰	دوده N - ۵۰۰
۲۰	روغن آروماتیک
۴	بارافین و اکسن
۵	روی اکسید
۲	استناریک اسید
۲/۵	شد اکستنده
۲	تاب دهنده سولفون آمید
۱	تاب دهنده گوانیدین
۱	گوگرد

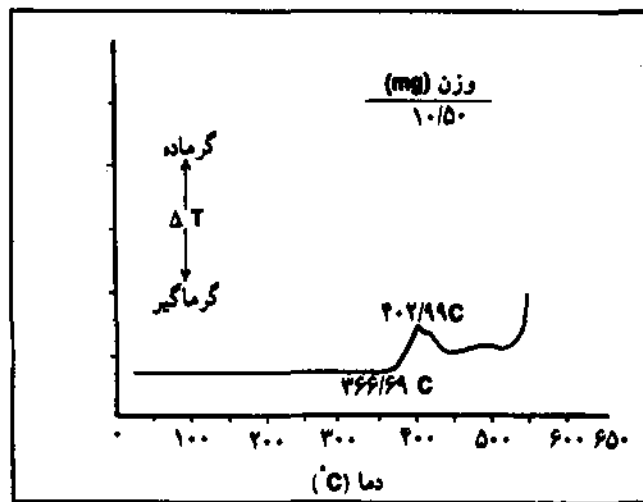
لاستیک طبیعی وولکانیده – مطابق جدول ۲ نقش سه دوده N - ۳۷۵ و N - ۶۶۰ در تخریب گرمایی این الاستومر بررسی شد. نتایج



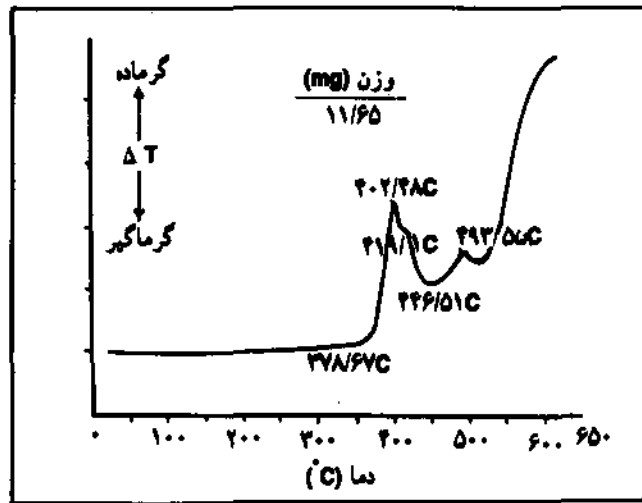
شکل ۹ - ب - نمودار گرمایی لاستیک طبیعی خام در اتمسفر نیتروژن.



شکل ۹ - ب - نمودار گرمایی لاستیک طبیعی خام در اتمسفر نیتروژن.



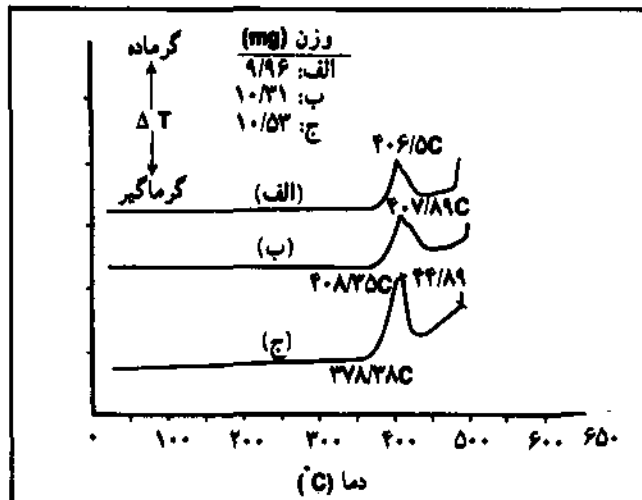
شکل ۱۰ - نمودار گرمایی لاستیک طبیعی رولکانیده.



شکل ۱۰ - نمودار گرمایی لاستیک طبیعی رولکانیده.

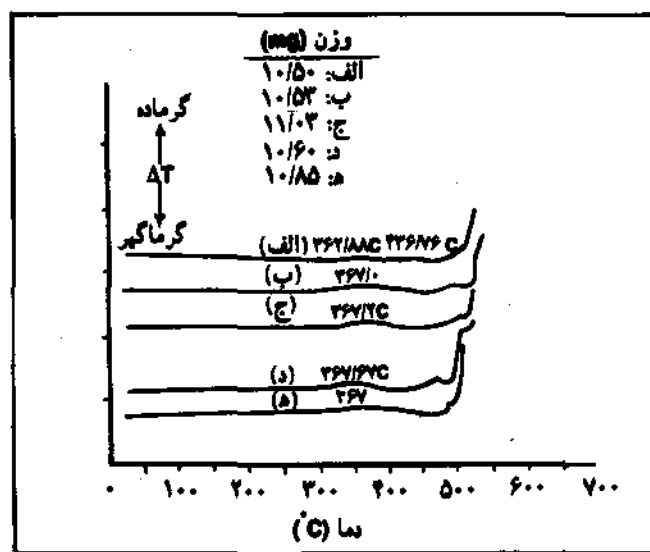
جدول ۳ - فرمولیندیهای لاستیک SBR.

۱	۲	۳	اجزاء
۱۰۰	۱۰۰	۱۰۰	SBR ۱۵۰۷
-	-	۶۰	N - ۱۱۰ درجه
-	۶۰	-	N - ۳۳۰ درجه
۶۰	-	-	N - ۵۵۰ درجه
۵	۵	۵	روی اکسید
۱/۰	۱/۰	۱/۰	استاریک اسید
۷/۰	۷/۰	۷/۰	روغن نفتی
۱	۱	۱	N - سیکلو هگزیلن ۲ بنزو تیازول سولفون
۱	۱	۱	آمید
۱/۸	۱/۸	۱/۸	تغیل بتانثیل آمین
			گوگرد



شکل ۱۱ - نمودار گرمایی لاستیک طبیعی رولکانیده بساسه فرمولیندی متفاوت در اتمسفر نیتروژن.

- [12] Sestak. J. Satoria N. and. Wendlandt, W (1973), Thermo Chim. Acta. 7. 372.
- [13] Mc. Naughton. J. L and Mortimer. E. T (1975), Differential Scanning Calorimetry.
- [14] Fyans. R. L. Brennan. W. P and Earnest. E. M (1985), Thermo Chem. Acta 92, 385.
- [15] Mraw. S. C. (1982) Rev. Sci inst 53, 222.
- [16] Saito. Y. Saito. K and Atake. T (1986), Thermo. Chemi. Acta, 99, 299.
- [17] Redfern. J. P (1972). Differential Thermal Analysis (ed, R. C. Mackenzie) Academic.
- [18] Danniels. T. (1973) Thermal Analysis. Koyan Paye. London. P. 132.
- [19] Mc. Noughton, J. 2 and Mortimer. E. T (1975), Differential Scanning Calorimetry Perkin – Elmer Order. No, L, 604 Reprinted from I.R.S. Phys Chem, Ser, 2 – Vol, 10. Butterworths, P. 19.
- [20] A. K. Sircar & T. G. Lamond. J. M. Huber, Corporation Research Department. Borger. Texas 79007. Rubber Chemistry and Technology Vol, 15, 32 (1972).
- [21] D. W. Brazier. Dunlop Research Center Sheridan, Park, Research Community. Mississ. AUGA. Ontario, Canada. Rubber Chemistry & Technology 437 (1975).
- [22] D. W. Brazier II Nickel, Dunlop Research Center, Sheridan Park Research Community Mississ. AUGA, Ontario. Canada. Rubber Chemistry and Technology, No. 48, 260 (1975).



شکل ۱۲ – نمودارهای گرمایی لاستیکهای مجهول در انتسر نیتروژن.

نتیجه‌گیری

برای تجزیه مستقیم لاستیک، گرمائی پرسی دیفرانسیل روشن مناسب است که در مدت کوتاهی شناسایی الاستومرهای خام وولکانید، را مسکن می‌کند. در این روش می‌توان الاستومرهای خام را بر بنای بیکهای گرمایی و گرماده در انتسر نیتروژن گروه بندی کرد، زیرا هر گروه الاستومر بر بنای ساختار شیمیایی، یک خاص خود را در دمای معین می‌دهد. همچنین بعد از وولکانیزه بیکهای گرمایی و گرماده در گستره دمایی معین مشاهده می‌شوند. نتایج مؤید این نکته است که عوامل بخت و پرکننده‌ها و دوده نقش عمده‌ای در تغییر گرمایی (N_2) و اکسایش (O_2) آن ندارد. در ضمن با این روش نتایج در حد قابل قبولی تکرار پذیر است.



- [1] R. P. Lattimer. E. R. Hooser. H. E. Dtem and C. K. Rhee. Rubber. Chem. Technol. 55, 442, 1982.
- [2] J. B. Pau. 3ch. Anal. Chem. 54, 89 A, 1982.
- [3] R. A. Komoroski. Rubber. Chem. Technol, 56, 959, 1983.
- [4] A. Krisher. Anal. Chem, 53, 159 R, 1981.
- [5] C. W. Wadelin and M.C. Morris. Anal. Chem, 51, 303R, 1979.
- [6] H. R. Schulten and R. P. Lattimer. Mass Spectrometry, 1988.
- [7] James. N. T (1977), Analytical and Quantitative Methods in Microscopy. Meek. B. A and Elder H. J. Eds. Cambridge University Press London.
- [8] Rao. C. N. P, and Rao. K. J (1973), Phase Transitions in Solid, McGraw Hill. New York.
- [9] West. A. R (1984), Solid State Chemistry, Wiley Chihester. Ch. 12.
- [10] Mackenzie. R. C. (ed) (1969) Differential Thermal Analysis. Vol 1 and 2 Academic Press. London.
- [11] Pope. M. I and Yudd. M. D (1977) Differential Thermal Analysis.